

Распространение трехмерных оптических пуль в квадратично–нелинейных средах

И. Г. Захарова,* А. А. Калинович,† М. В. Комиссарова,‡ С. В. Сазонов§

*Московский государственный университет имени М. В. Ломоносова,
физический факультет, кафедра фотоники и физики микроволн
Россия, 119991, Москва, Ленинские горы, д. 1, стр. 2*

(Статья поступила 27.11.2017; Подписана в печать 29.11.2017)

Трехмерные световые пучки–импульсы, называемые световыми пулями, изучаются как аналитически, так и численно. С помощью метода усредненного Лагранжиана получено аналитическое решение, описывающее пулю при нелинейном параметрическом взаимодействии. Получены условия устойчивого распространения пули, представляющее собой соотношение между дифракционной, дисперсионной и нелинейной длинами. Аналитические выводы подтверждены в процессе компьютерного моделирования. В расчетах показано, что световая пуля распространяется на расстояние, значительно превышающее дисперсионную и дифракционную длины в анизотропной среде. Отдельно рассмотрены случаи устойчивого распространения двухкомпонентной трехмерной световой пули, а также формирование светового пучка–импульса при генерации второй оптической гармоники.

PACS: 42.65.Tg

УДК: 535.03:519.06

Ключевые слова: квадратичная нелинейность, двцветный солитон, оптическая пуля.

ВВЕДЕНИЕ

В последнее время возрос интерес к исследованию формирования устойчивых локализованных световых волн, называемых пространственно–временными солитонами или оптическими пулями. Такие двух- или трехмерные самозахватывающиеся моды возникают в результате конкуренции между нелинейной самокомпрессией поля и линейными эффектами дифракции и дисперсии, приводящими к расплыванию волновых пакетов в пространстве и времени. Оптические пули не только представляют предмет теоретических исследований, но открывают возможности практических приложений, таких как сверхбыстрые полностью оптические системы обработки данных [1] или высокоточная интерферометрия [2]. В отличие от одномерных солитонов, двух- и трехмерные пули, являясь о своей природе многомерной структурой, нестабильны в кубических средах: при распространении происходит коллапс пучка [3]. Однако в квадратично–нелинейных средах в случае генерации второй гармоники коллапса не происходит, пуля остается стабильной [4, 5]. Теоретические исследования распространения многомерных пуль в квадратичных средах до сих пор проводились в основном с помощью компьютерных расчетов. Отметим при этом, что в [6] построена аналитическая форма приближенного стационарного солитонного решения для многомерной модели генерации второй оптической гармоники в предположении синхронизма групповых скоростей. Кроме того в [7] представлен анализ дисперсионной модуляционной неустойчивости про-

странственных солитонов вследствие невырожденного трехволнового взаимодействия.

В настоящей работе рассматривается возможность генерации и устойчивого распространения трехмерных оптических пуль в квадратично–нелинейных средах. Среди способов преодоления неустойчивости многомерных солитонов предлагается использовать нелинейное параметрическое взаимодействие. В качестве среды для достижения такого типа нелинейности можно предложить анизотропную микродисперсную среду, в которой существенна пространственная дисперсия. Такая среда позволяет реализовать одновременное выполнение фазового и группового синхронизма. Предполагается, что нелинейная рефракция проявляется раньше, чем дифракция и дисперсия. С помощью метода усредненного Лагранжиана получено аналитическое решение в виде пространственно–временного солитона. В результате компьютерного моделирования подтверждено устойчивое распространение пули, имеющей форму и параметры, предсказанные аналитически.

1. ПОСТАНОВКА ЗАДАЧИ И АНАЛИТИЧЕСКОЕ ИССЛЕДОВАНИЕ

При генерации второй оптической гармоники в импульсном режиме комплексные амплитуды основной частоты ψ_1 и второй гармоники ψ_2 описываются следующей системой уравнений

$$i \left[\frac{\partial \psi_1}{\partial z} + \delta \frac{\partial \psi_1}{\partial \tau} \right] + \frac{\beta_2^{(1)}}{2} \frac{\partial^2 \psi_1}{\partial \tau^2} - \gamma_1 \psi_1^* \psi_2 e^{i(2k_1 - k_2)z} = \\ = \frac{c}{2n_1 \omega} \Delta_{\perp} \psi_1, \quad (1)$$

*E-mail: zaharova@physics.msu.ru

†E-mail: kalinovich@gmail.com

‡E-mail: komissarova@physics.msu.ru

§E-mail: sazonov.sergey@gmail.com

$$i \left[\frac{\partial \psi_2}{\partial z} - \delta \frac{\partial \psi_2}{\partial \tau} \right] + \frac{\beta_2^{(2)}}{2} \frac{\partial^2 \psi_2}{\partial \tau^2} - \gamma_2 \psi_1^2 e^{-i(2k_1 - k_2)z} = \frac{c}{4n_2 \omega} \Delta_{\perp} \psi_2, \quad (2)$$

где $\tau = t - 0.5(1/v_1 + 1/v_2)z$, $\delta = 0.5(1/v_1 - 1/v_2)$ — расстройка групповых скоростей, ω — частота основной волны, c — скорость света в вакууме, $\beta_2^{(1,2)}$ — коэффициенты дисперсии, $\gamma_{1,2}$ — коэффициенты нелинейности, $k_{1,2}$ — волновые векторы, $n_{1,2}$ — коэффициенты преломления.

Рассмотрим случай равенства фазовых и групповых скоростей $k_2 = 2k_1$, $n_1 = n_2 = n$, $\delta = 0$, $v_1 = v_2 = v$, $\tau = t - z/v$. Дисперсионные коэффициенты будем считать связанными соотношением $\beta_2^{(2)} = 2\beta_2^{(1)}$.

В этом случае система (1), (2) сводится к виду

$$i \frac{\partial \Phi_1}{\partial z} + \frac{k_2}{2} \frac{\partial^2 \Phi_1}{\partial \tau^2} - \gamma \Phi_1^* \Phi_2 = \frac{c}{2n\omega} \Delta_{\perp} \Phi_1, \quad (1a)$$

$$i \frac{\partial \Phi_2}{\partial z} + k_2 \frac{\partial^2 \Phi_2}{\partial \tau^2} - \frac{\gamma}{2} \Phi_1^2 = \frac{c}{4n\omega} \Delta_{\perp} \Phi_2, \quad (2a)$$

$$\gamma \equiv \gamma_1, \Phi_1 = \sqrt{\frac{2\gamma_2}{\gamma_1}} \psi_1, \Phi_2 = \psi_2 \quad (3)$$

Кроме того мы положили, что

$$\beta_2^{(2)} = 2\beta_2^{(1)} = 2k_2 \quad (4)$$

В одномерном случае ($\Delta_{\perp} = 0$) система (1a), (2a) при учете (3) обладает солитонными решениями вида

$$\psi_1 = \pm \frac{3k_2}{4\tau_p^2} \sqrt{\frac{2}{\gamma_1 \gamma_2}} \exp\left(i \frac{k_2 z}{2\tau_p^2}\right) \operatorname{sech}^2\left(\frac{\tau}{2\tau_p}\right), \quad (5)$$

$$\psi_2 = -\frac{3k_2}{4\tau_p^2 \gamma_1} \exp\left(i \frac{k_2 z}{\tau_p^2}\right) \operatorname{sech}^2\left(\frac{\tau}{2\tau_p}\right). \quad (6)$$

Здесь τ_p — временная длительность импульса.

Учет поперечных возмущений проведем методом «усредненного лагранжиана». Заметим для этого, что системе (1a), (2a) соответствует плотность Лагранжиана

$$L = L_1 + L_2 + L_{int}, \quad (7)$$

где

$$L_1 = \frac{i}{2} \left(\Phi_1^* \frac{\partial \Phi_1}{\partial z} - \Phi_1 \frac{\partial \Phi_1^*}{\partial z} \right) - \frac{k_2}{2} \left| \frac{\partial \Phi_1}{\partial \tau} \right|^2 + \frac{c}{2n\omega} |\nabla_{\perp} \Phi_1|^2, \quad (8)$$

$$L_2 = \frac{i}{2} \left(\Phi_2^* \frac{\partial \Phi_2}{\partial z} - \Phi_2 \frac{\partial \Phi_2^*}{\partial z} \right) - k_2 \left| \frac{\partial \Phi_2}{\partial \tau} \right|^2 + \frac{c}{4n\omega} |\nabla_{\perp} \Phi_2|^2, \quad (9)$$

$$L_{int} = -\frac{\gamma}{2} (\Phi_1^* \Phi_2 + \Phi_1 \Phi_2^*). \quad (10)$$

В соответствии с (5), (6) пробные решения выберем в виде

$$\Phi_1 = \pm \frac{6k_2}{\gamma} \mu^2 \exp(iQ) \operatorname{sech}^2(\mu\tau), \quad (11)$$

$$\Phi_2 = -\frac{3k_2}{\gamma} \mu^2 \exp(2iQ) \operatorname{sech}^2(\mu\tau). \quad (12)$$

Здесь μ и Q — соответственно «медленная» и «быстрая» функции координат.

После подстановки (11), (12) в (7)–(10) и интегрирования по τ будем иметь

$$\int_{-\infty}^{+\infty} L d\tau = 216 \left(\frac{k_2}{\gamma} \right)^2 \Lambda,$$

где «усредненный Лагранжиан»

$$\Lambda = \frac{\mu^3}{3} \left[\frac{c}{2n\omega} (\nabla_{\perp} Q)^2 - \frac{\partial Q}{\partial z} \right] + \frac{2}{5} k_2 \mu^5 + \frac{A}{4n\omega} \left(1 + \frac{\pi^2}{30} \right) \mu (\nabla_{\perp} \mu)^2. \quad (13)$$

Запишем с использованием (13) уравнения Эйлера–Лагранжа

$$\frac{\partial}{\partial z} \frac{\partial \Lambda}{\partial (\partial Q / \partial z)} + \nabla_{\perp} \frac{\partial \Lambda}{\partial (\nabla_{\perp} Q)} = 0, \frac{\partial \Lambda}{\partial \mu} = 0.$$

В результате получим

$$\frac{\partial \rho}{\partial z} + \nabla_{\perp} (\rho \nabla_{\perp} \phi) = 0, \quad (14)$$

$$\frac{\partial \phi}{\partial z} + \frac{(\nabla_{\perp} \phi)^2}{2} + \frac{2c}{n\omega} k_2 \rho^{2/3} = \frac{1}{3} \left(1 + \frac{\pi^2}{30} \right) \left(\frac{c}{n\omega} \right)^2 \frac{\Delta_{\perp} \sqrt{\rho}}{\sqrt{\rho}}. \quad (15)$$

Здесь

$$\rho = \mu^3, \quad \phi = -\frac{c}{n\omega} Q. \quad (16)$$

Полагая в (14), (15) $\nabla_{\perp} = 0$, имеем $\rho = \mu^3 = \text{const}$. Пусть $\mu = 1/2\tau_p$. Тогда из (15) с учетом (16) имеем $Q = \frac{k_2}{2\tau_p^2} z$, что в точности совпадает со случаем одномерного решения. Это важный аргумент в пользу метода «усредненного Лагранжиана».

Система (14), (15) формально схожа с уравнениями двумерной гидродинамики идеальной квантовой жидкости, где роль времени играет координата z .

Правая часть (15) учитывает влияние дифракции. В ее отсутствие имеем приближение геометрической оптики.

Нетрудно видеть, что система (14), (15) эквивалентна уравнению для комплексной функции ψ :

$$i \frac{\partial \psi}{\partial z} = -\frac{ck_2}{gn\omega} |\psi|^{4/3} \psi + g\Delta_{\perp} \psi + \left[\frac{1}{6g} \left(1 + \frac{\pi^2}{30} \right) \left(\frac{c}{n\omega} \right)^2 - g \right] \frac{\psi}{|\psi|} \Delta_{\perp} |\psi|, \quad (17)$$

где

$$\psi = \sqrt{\rho} \exp \left(-i \frac{\phi}{2g} \right), \quad (18)$$

g — некоторая постоянная, введенная для обезразмеривания показателя мнимой экспоненты в (18).

Будем искать решение (17) в виде

$$\psi = F(r_{\perp}) \exp(-ikz). \quad (19)$$

Подставляя (19) в (17), получим

$$\Delta_{\perp} F = \frac{1}{R_0^2} F - bF^{7/3}, \quad (20)$$

где

$$\frac{1}{R_0^2} = \frac{6g\kappa}{1 + \pi^2/30} \left(\frac{n\omega}{c} \right)^2, \quad b = -\frac{6k_2}{1 + \pi^2/30} \frac{n\omega}{c}. \quad (21)$$

Отсюда видно, что (20) имеет локализованное в поперечных координатах решение при $b > 0$, т.е. при $k_2 < 0$. Тогда R имеет смысл характерного поперечного размера импульса.

Введем безразмерные переменные

$$\zeta = r_{\perp}/R_0, \quad P = (bR_0^2)^{3/4} F. \quad (22)$$

$$\Delta_{\zeta} P = P - P^{7/3}. \quad (23)$$

Условиям (4) и $k_2 < 0$ можно удовлетворить, если рассматривать микродисперсную среду, обладающую пространственной дисперсией [9].

В аксиально-симметричном случае уравнение (23) принимает вид

$$\frac{d^2 P}{d\zeta^2} + \frac{1}{\zeta} \frac{dP}{d\zeta} = P - P^{7/3}. \quad (24)$$

В окрестности максимума, где $\zeta = 0$, справедливо разложение

$$P = 2.32 (1 - 0.52\zeta^2 + 0.20\zeta^4 - \dots). \quad (25)$$

При $\zeta \gg 1$ можно пренебречь нелинейным слагаемым в (24). Тогда

$$P \sim K_0(\zeta) \sim \frac{1}{\sqrt{\zeta}} \exp(-\zeta), \quad (26)$$

где $K_0(\zeta)$ — функция Макдональда нулевого порядка.

При всех значениях ζ от нуля до бесконечности данное решение очень хорошо (с относительной точностью, большей 1%) аппроксимируется функцией

$$P = 2.32 \operatorname{sech}^{3/2}(0.83\zeta). \quad (27)$$

Данная зависимость изображена на рис. 1.

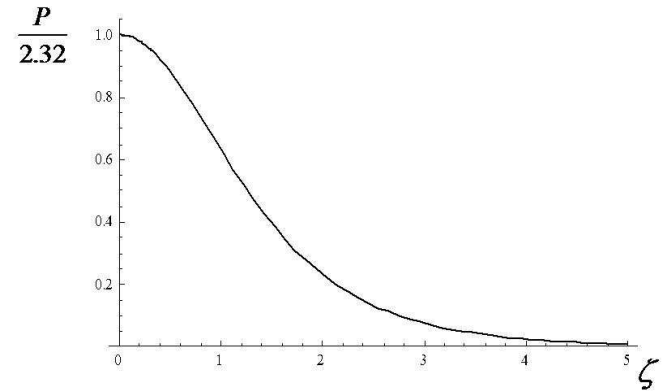


Рис. 1: Зависимость $P(\zeta)$, построенная на основе выражения (27); данная зависимость с точностью до 1% совпадает с численным решением уравнения (23) практически на всем интервале значений ζ

Учитывая, что $\mu = \rho^{1/3}$, а $F = \sqrt{\rho}$, получим $\mu = F^{2/3}$. Учитывая также (27) и (22), будем иметь

$$\mu = \frac{1.75}{\sqrt{b}R_0} \operatorname{sech} \left(0.83 \frac{r}{R_0} \right), \quad (28)$$

$$\rho = \frac{5.36}{b^{3/2}R_0^3} \operatorname{sech}^3 \left(0.83 \frac{r}{R_0} \right). \quad (29)$$

Тогда получаем

$$R_0 = 3.422 \frac{\tau_0}{\sqrt{b}}. \quad (30)$$

Здесь τ_0 — временная длительность импульса на оси аксиальной симметрии.

2. ЧИСЛЕННОЕ МОДЕЛИРОВАНИЕ

Компьютерное моделирование проводилось на основе системы уравнений (1а–2а). Данная система имеет следующие интегралы движения, сохранение которых контролировалось в процессе счета:

$$I_1(z) = \iiint (|\psi_1|^2 + 2|\psi_2|^2) dx dy d\tau, \quad (31)$$

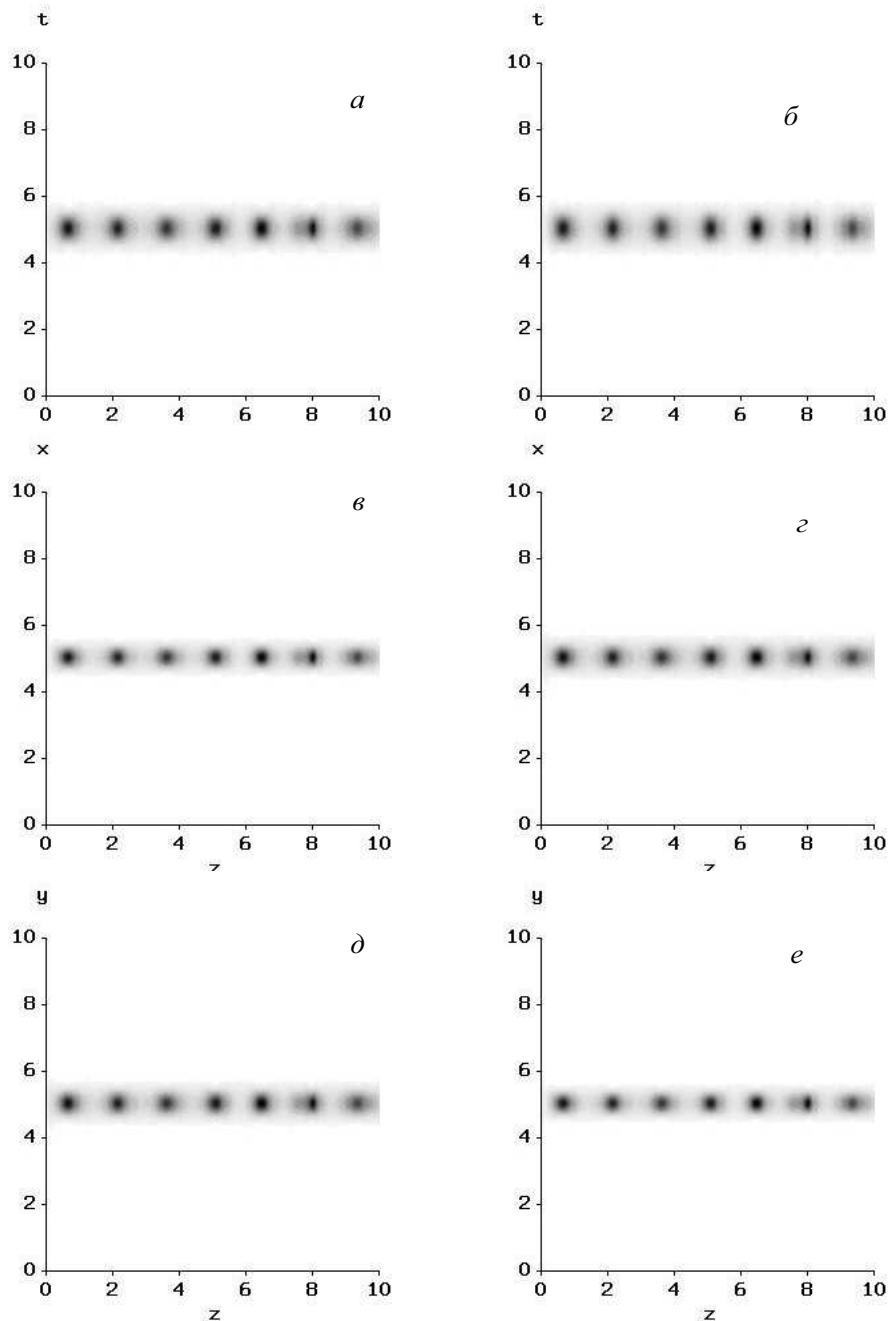


Рис. 2: Распределение интенсивности на центральных сечениях tz (а,б), xz (в,г), yz (д,е) пучков первой (а, в, д) и второй (б, г, е) гармоник

$$\begin{aligned}
 H(z) = & \iiint \left[\frac{k_2}{2} \left(\left| \frac{\partial \psi_1}{\partial \tau} \right|^2 + 2 \left| \frac{\partial \psi_2}{\partial \tau} \right|^2 \right) - \right. \\
 & - \frac{c}{4n\omega} \left(2 \left| \frac{\partial \psi_1}{\partial x} \right|^2 + \left| \frac{\partial \psi_2}{\partial x} \right|^2 + 2 \left| \frac{\partial \psi_1}{\partial y} \right|^2 + \left| \frac{\partial \psi_2}{\partial y} \right|^2 \right) + \\
 & \left. + \gamma \operatorname{Re}(\psi_1^2 \psi_2^*) \right] dx dy d\tau. \quad (32)
 \end{aligned}$$

Для численного решения (1а)–(2а) использовалась известная псевдо-спектральная нелинейная консервативная разностная схема. Поскольку решаемая задача трехмерна, а следовательно, требует экономичного по времени алгоритма, для ее реализации был разработан оригинальный итерационный процесс, аналогичный описанному в [9]. Итерации проводились поэтапно по координатам t , x и y , и осуществлялись до достижения заданной точности. Первый интеграл, имею-

щий смысл энергии системы, сохранялся с точностью $\sim 10^{-10}$, гамильтониан — с точностью $\sim 10^{-4}$.

Известно, что в одномерном случае существует солитонное решение вида $\psi_{1,20} = E \cosh^{-2}(x/r_x)$ [10].

В качестве начального условия, в отличие от [6], где задавался гауссов профиль, в соответствии с [8, 11, 12] использовалось выражение

$$\psi_{1,20} = E_{1,2} \cosh^{-2}(x/r_x) \cosh^{-2}(y/r_y) \cosh^{-2}(\tau/r_\tau). \quad (33)$$

На рис. 2 приведено распределение амплитуд первой и второй гармоник в центральных сечениях xz , yz и tz . Брались следующие параметры $k_1 = 0.5$, $k_2 = 1$, $\beta_2^{(1)} = -2$, $\beta_2^{(2)} = -4$ — случай аномальной дисперсии, $\gamma_1 = 1$, $\gamma_2 = 0.5$, $r_x = r_y = 1$, $\tau_0 = 1$, $E_1 = E_2 = 12$. Легко видеть, что амплитуда пучка осциллирует, но весь пучок распространяется как целое. Следовательно, можно говорить о том, что распространяется оптическая пуля, содержащая две гармоники.

Также был рассмотрен процесс генерации пульз из начального гауссова пучка основной частоты. Был проведен ряд численных экспериментов, показывающих, что происходит генерация второй частоты и дальнейший захват в пулю вида (33).

Численный эксперимент, проведенный с системой (1а–2а), подтверждает справедливость найденных выше аналитических решений в пределе дистанций, зна-

чительно превышающих дисперсионную $2\tau_p^2/|k_2|$ и дифракционную $(n\omega/c)R_0^2$.

Наибольший интерес представляет ситуация, когда на входе в среду вторая гармоника отсутствует. Этот случай соответствует импульсному режиму генерации второй гармоники, сопровождаемой формированием двухкомпонентной «световой пули». Анализ показывает, что в установившемся режиме данное численное решение находится в хорошем согласии с найденным выше аналитическим решением.

ЗАКЛЮЧЕНИЕ

С помощью метода усредненного Лагранжиана получено аналитическое решение в виде двухкомпонентной оптической пули, распространяющейся в квадратично-нелинейной среде. Компьютерное моделирование подтвердило устойчивое распространение «дышащего» солитона на расстояние, существенно превышающее дифракционную и дисперсионную длины. Проведен вычислительный эксперимент, демонстрирующий возможность формирования двухкомпонентной пули в процессе генерации второй оптической гармоники.

Работа выполнена при финансовой поддержке Российского Научного Фонда (проект № 17-11-01157).

-
- [1] McLeod R., Wagner K., Blair S. Phys. Rev. A. 1995. **52**. P. 3254.
- [2] McDonald G.D., Kuhn C.C.N., Hardman K.S., Bennetts S., Everitt P.J., Altin P.A., Debs J.E., Close J.D., Robins N.P. Phys. Rev. Lett. 2014. **113**. P. 013002.
- [3] Bergü L. Physics Reports. 1998. **303**. P. 259.
- [4] Liu X., Qian L.J., Wise F.W. Phys. Rev. Lett. 1999. **82**. P. 4631.
- [5] Liu X., Beckwitt K., Wise F. Phys. Rev. E. 2000. **62**. P. 1328.
- [6] Malomed B.A., Drummond P., He H., Berntson A., Anderson D., Lisak M. Phys. Rev. E. 1997. **56**. P. 4725.
- [7] Skryabin D.V., Firth W.J. Phys. Rev. Lett. 1998. **81**. P. 3379.
- [8] Sazonov S.V., Mamaikin M.S., Zakharova I.G., Komissarova M.V. Physics of Wave Phenomena. 2017. **25**. P. 83.
- [9] Trofimov V.A., Loginova M.M., Egorenkov V.A. WIT transactions on modelling and simulation. 2015. **59**. P. 85.
- [10] Кившарь Ю.С., Агравал Г.П. Оптические солитоны. М.: Физматлит, 2005.
- [11] Sazonov S.V. Physics of Wave Phenomena. 2016. **24**. P. 31.
- [12] Sazonov S.V. J. of the Physical Society of Japan. 2016. **85**. P. 124404.

Propagation of 3d optical bullets in quadratically nonlinear media

I. G. Zakharova^a, A. A. Kalinovich^b, M. V. Komissarova^c, S. V. Sazonov^d

Faculty of Physics, Lomonosov Moscow State University. Moscow 119991, Russia

E-mail: ^azaharova@physics.msu.ru, ^bkalinovich@gmail.com, ^ckomissarova@physics.msu.ru, ^dsazonov.sergey@gmail.com

Three-dimensional light beams-pulses, known as light bullets, are studied analytically and numerically. Using the method of the averaged Lagrangian obtained analytical solution describing a bullet in nonlinear parametric interaction. The obtained conditions

for sustainable spread of bullets, which is a ratio between diffraction, dispersion and nonlinear lengths. Analytical conclusions are confirmed in the process of computer simulation. The calculations demonstrate that the light bullet extends to a distance far exceeding the dispersion and diffraction lengths in the anisotropic medium. Separately the cases of stable propagation of two-component three-dimensional light bullets, as well as the formation of the beam pulse by generating the second optical harmonic.

PACS: 42.65.Tg

Keywords: quadratic nonlinearity, two-color soliton, optical bullet.

Received 27 November 2017.

Сведения об авторах

1. Захарова Ирина Гургеновна — доцент; тел.: (495) 939-16-62, e-mail: zaharova@physics.msu.ru.
 2. Калинович Алексей Андреевич — ст. науч. сотрудник; тел.: (495) 939-33-17, e-mail: kalinovich@gmail.com.
 3. Комиссарова Мария Валентиновна — ст. преподаватель; тел.: (495) 939-16-62, e-mail: komissarova@physics.msu.ru.
 4. Сазонов Сергей Владимирович — вед. науч. сотрудник; e-mail: sazonov.sergey@gmail.com.
-